

УДК 550.373

## ГИДРОАКУСТИЧЕСКАЯ ВОЛНА ВО ВНЕШНЕМ ПЕРЕМЕННОМ МАГНИТНОМ ПОЛЕ

© 2008 г. С. В. Сёмкин, В. П. Смагин, В. Н. Савченко

*Владивостокский государственный университет экономики и сервиса, Владивосток*

*e-mail: Li15@rambler.ru*

Поступила в редакцию 23.05.2006 г.

После доработки 20.09.2007 г.

Рассмотрены электромагнитные поля, индуцированные гидроакустическими волнами, распространяющимися в жидкой проводящей среде в переменном магнитном поле. Получено уравнение, связывающее индуцированное магнитное поле с невозмущенным полем антенны и параметрами звуковой волны. Построена пространственно-временная картина индуцированного поля в случае, когда звуковая волна распространяется вдоль прямого провода с переменным током.

PACS: 43.20.Bi

### 1. ВВЕДЕНИЕ

В морях и океанах существуют электромагнитные поля различного происхождения, — создаваемые тропосферными, магнитосферными и гидродинамическими источниками. Частотный диапазон этих полей очень широк — от  $10^{-10}$  до  $10^6$  Гц [Карнаушенко и Кукушкин, 1980]. Электромагнитные поля акустического диапазона могут взаимодействовать со звуковыми волнами в морской среде.

Рассмотрим ситуацию, когда в морской среде присутствует источник электромагнитного поля. Структура поля в этом случае определяется как параметрами источника, так и электрическими свойствами морской среды. Определение этой структуры для различных конфигураций источника является отдельной задачей, рассмотренной, например, в [Крутецкий, 1982]. Предположим, что в области пространства, где есть такое электромагнитное поле, распространяется звуковая волна. Эта волна индуцирует дополнительное электромагнитное поле, которое накладывается на поле источника. (Аналогичное явление возникает при распространении морских волн в магнитном поле Земли [Смагин и др., 2005]). В данной работе мы исследуем поле, индуцированное плоской монохроматической звуковой волной с частотой  $\omega$ , распространяющейся вблизи источника магнитного поля, которое периодически (с частотой  $\omega_0$ ) меняется во времени.

Как будет показано ниже, характерной особенностью индуцированного поля является наличие двух гармоник с частотами  $\omega_0 + \omega$  и  $\omega_0 - \omega$ .

Используя уравнения Максвелла и закон Ома для морской среды, можно получить уравнение, связывающее индуцированное поле  $\mathbf{V}$  с магнит-

ным полем источника  $\mathbf{B}_0$  и полем скоростей акустической волны  $\mathbf{v}$  [Савченко и др., 1999]:

$$-\nabla^2 \mathbf{V} + \mu_0 \sigma \frac{\partial \mathbf{V}}{\partial t} + \mu_0 \varepsilon_0 \varepsilon \frac{\partial^2 \mathbf{V}}{\partial t^2} = \mu_0 \sigma \text{rot}[\mathbf{v}, \mathbf{B}_0], \quad (1)$$

$\sigma$  — электрическая проводимость морской среды,  $\varepsilon$  — диэлектрическая проницаемость воды.

В соответствии с постановкой задачи, поле скоростей и поле источника зададим в следующей форме:

$$\begin{aligned} \mathbf{v} &= v_a \mathbf{e}_k \exp[i((\mathbf{k}, \mathbf{r}) - \omega t)], \\ \mathbf{B}_0 &= \mathbf{b}_0 \exp[i\omega_0 t], \end{aligned} \quad (2)$$

где  $\mathbf{e}_k = \mathbf{k}/k$ ,  $\omega = ck$ ,  $k$  — волновое число,  $c$  — скорость звука в морской воде.

Тогда правая часть уравнения (1) примет вид:

$$\begin{aligned} &\frac{\mu_0 \sigma v_a}{2} (e^{i(\omega_0 - \omega)t} \text{rot}([\mathbf{e}_k, \mathbf{b}_0] e^{i(\mathbf{k}, \mathbf{r})}) + \\ &+ e^{i(\omega_0 + \omega)t} \text{rot}([\mathbf{e}_k, \mathbf{b}_0] e^{-i(\mathbf{k}, \mathbf{r})})) \end{aligned} \quad (3)$$

(Наличие в этом выражении двух слагаемых с частотами  $\omega_0 + \omega$  и  $\omega_0 - \omega$  обусловлено тем, что для правильной записи уравнения (1) в вещественной форме в правой части должна стоять не вещественная часть произведения функций (2), а произведение их вещественных частей.)

Решение уравнения (1) будем искать в виде

$$\begin{aligned} \mathbf{V} &= \mathbf{V}_+ \exp[i((\omega_0 + \omega)t - (\mathbf{k}, \mathbf{r}))] + \\ &+ \mathbf{V}_- \exp[i((\omega_0 - \omega)t + (\mathbf{k}, \mathbf{r}))]. \end{aligned} \quad (4)$$

Подставляя (4) в (1) получим уравнения для функций  $\mathbf{V}_+$  и  $\mathbf{V}_-$ , которые запишем в виде одного соотношения:

$$\begin{aligned}
& -\nabla^2 \mathbf{B}_\pm \pm 2ik(e_k, \nabla) \mathbf{B}_\pm + (k^2 - \mu_0 \varepsilon_0 \varepsilon(\omega_0 \pm \omega))^2 + \\
& \quad + i\mu_0 \sigma(\omega_0 \pm \omega) \mathbf{B}_\pm = \\
& = \frac{\mu_0 \sigma \nabla_a}{2} (\text{rot}[\mathbf{e}_k, \mathbf{b}_0] \mp ik[\mathbf{e}_k, [\mathbf{e}_k, \mathbf{b}_0]])
\end{aligned} \quad (5)$$

Рассмотрим два частных случая, в которых можно пренебречь теми или иными слагаемыми в левой части уравнений (5). Предположим, что длина звуковой волны значительно меньше  $l$  – размеров области, в которой существенно меняется поле  $\mathbf{b}_0$ , то есть,  $kl \gg 1$ . Естественно предположить, что характерный масштаб изменения полей  $\mathbf{B}_\pm$  тоже порядка  $l$ . Если это предположение верно, то наибольшим в левой части (5) является третье слагаемое. Оставляя только одно это слагаемое мы получим алгебраическое уравнение для  $\mathbf{B}_\pm$ . Наименьшим по величине, в случае  $kl \gg 1$ , является первое слагаемое в левой части (5). Если в (5) отбросить только его, получим для  $\mathbf{B}_\pm$  обыкновенные дифференциальные уравнения первого порядка.

Рассмотрим противоположный случай, когда  $kl \ll 1$ . Тогда, отбрасывая второе слагаемое, мы получим из (5) уравнение Гельмгольца, а при малых  $\omega_0$ , когда можно отбросить и третье слагаемое в левой части (5), получим уравнение Пуассона. Далее мы рассмотрим ситуацию, когда  $kl \ll 1$ , а поле  $\mathbf{b}_0$  создается переменным током в длинном прямом проводе.

## 2. ЗВУКОВАЯ ВОЛНА В ПОЛЕ ПРЯМОГО ПРОВОДА

Рассмотрим бесконечно длинный прямой провод, ток в котором является гармонической функцией времени с частотой  $\omega_0$ . Для того, чтобы вычислить поле, индуцированное звуковой волной, необходимо, как это видно из (1), найти магнитное поле  $\mathbf{B}_0$ , создаваемое самим этим током в морской среде. Уравнение, из которого можно определить  $\mathbf{B}_0$ , имеет следующий вид [Савченко и др., 1999].

$$-\nabla^2 \mathbf{B}_0 + \mu_0 \sigma \frac{\partial \mathbf{B}_0}{\partial t} + \mu_0 \varepsilon_0 \varepsilon \frac{\partial^2 \mathbf{B}_0}{\partial t^2} = 0. \quad (6)$$

Направим ось  $z$  цилиндрической системы координат вдоль провода. При условии, что ток в проводе не зависит от  $z$ , можно показать, что не равна нулю только угловая компонента магнитного поля –  $B_{0\varphi}$ , которая зависит только от расстояния от провода –  $r$ . Поэтому, будем искать решение уравнения (6) в виде:

$$\mathbf{B}_0 = (\text{Re} F(r) e^{i\omega_0 t}) \mathbf{e}_\varphi. \quad (7)$$

Граничные условия для функции  $F(r)$  имеют следующий вид:

$$F(R_0) = \frac{\mu_0 I}{2\pi R_0}, \quad F(\infty) = 0, \quad (8)$$

где  $I$  – амплитуда силы тока,  $R_0$  – радиус провода.

Подставив (7) в (6), получим уравнение для функции  $F(r)$ :

$$r^2 F'' + rF' + (\eta r^2 - 1)F = 0,$$

где

$$\eta = \mu_0 \varepsilon_0 \varepsilon \omega_0^2 - i\mu_0 \sigma \omega_0.$$

Введем безразмерную переменную  $x = r\sqrt{\eta}$ . Уравнение для  $F(x)$

$$x^2 F'' + xF' + (x^2 - 1)F = 0$$

является уравнением Бесселя 1-го порядка. Решение этого уравнения, ограниченное на бесконечности, запишем через функцию Ганкеля 2-го рода:  $F(x) = AH_1^{(2)}(x)$ .

Константа  $A$  может быть найдена из граничного условия (8), что дает  $A = \frac{\mu_0 I}{2\pi R_0 H_1^{(2)}(R_0 \sqrt{\eta})}$ .

Рассмотрим область частот  $\omega_0 \ll \frac{\sigma}{\varepsilon_0 \varepsilon} \approx 10^{10} \text{ с}^{-1}$ .

В этой области можно пренебречь вещественной частью  $\eta$  и считать этот параметр равным  $\eta = -\mu_0 \varepsilon_0 \sigma e^{-i\pi/2}$ , а  $\sqrt{\eta} = ae^{-i\pi/4}$ , где  $a = \sqrt{\mu_0 \omega_0 \sigma}$ . Тогда [Справочник, 1979]

$$H_1^{(2)}(rae^{-i\pi/4}) = -\frac{2}{i\pi e^{-i\pi}} (\text{ker}_1(ra) + i\text{kei}_1(ra)).$$

Используя асимптотику функции Ганкеля при малых значениях аргумента  $H_1^{(2)}(z) \approx -\frac{2}{i\pi z}$ , получим выражение для  $F(r)$  при  $R_0 \rightarrow 0$ :

$$\begin{aligned}
F(r) &= \frac{\mu_0 I a}{2\pi \sqrt{2}} (-1 + i)(\text{ker}_1(ra) + i\text{kei}_1(ra)) = \\
&= F_0(r) e^{i\psi},
\end{aligned} \quad (9)$$

где

$$F_0(r) = f_0 \sqrt{\text{ker}_1^2(ra) + \text{kei}_1^2(ra)} \quad (10)$$

и

$$\begin{aligned}
\text{tg} \psi &= \frac{\text{kei}_1(ra) - \text{ker}_1(ra)}{\text{kei}_1(ra) + \text{ker}_1(ra)}, \\
f_0 &= \frac{\mu_0 I \sqrt{\mu_0 \omega_0 \sigma}}{2\pi}.
\end{aligned} \quad (11)$$

Заметим, что при  $\omega_0 \rightarrow 0$ , выражение (9) переходит  $\frac{\mu_0 I}{2\pi r}$ , что соответствует магнитному полю прямого провода в вакууме. Расчет показывает, что при любом  $\omega_0$ ,  $F_0(r)$  есть монотонно убывающая функция аргумента. Чем больше значение  $\omega_0$ , тем быстрее убывает функция  $F_0(r)$ .

Рассмотрим плоскую монохроматическую звуковую волну, распространяющуюся вдоль провода с током. В приближении, когда уравнение (5) превращается в уравнение Пуассона ( $kl \ll 1$ ) у индуцированных полей  $\mathbf{V}_+$  и  $\mathbf{V}_-$  отличны от нуля только угловые компоненты, которые равны по модулю и могут быть вычислены по формуле:

$$B_\phi = \frac{\mu_0 \sigma V_0}{4\pi} \times \int \frac{r' F_0(r') e^{i\psi(r')} z' \sin kz'}{(\sqrt{(r^2 + r'^2 - 2rr' \cos \phi') + z'^2})^3} dz' d\phi' dr' \quad (12)$$

Проведя в этом выражении интегрирование по  $z'$ , получим:

$$B_\phi = \frac{k\mu_0 \sigma V_0}{2\pi} \int r'' F_0(r'') e^{i\psi(r'')} \times K_0(k\sqrt{r^2 + r'^2 - 2rr' \cos \phi'}) d\phi' dr' \quad (13)$$

где  $K_0(z)$  – функция Макдональда.

Исследуем характер зависимости  $B_\phi$  от частоты акустической волны  $\omega$  частоты переменного тока в антенне  $\omega_0$  и от расстояния  $r$  от провода. Для этого перейдем к безразмерным переменным следующим образом. Введем характерную частоту  $\omega_s = \mu_0 \sigma c^2$  и характерную длину  $l_0 = c/\omega_s = 1/(\mu_0 \sigma c)$ . Обозначим  $x = r'/l_0$ ,  $x' = r/l_0$ ,  $w = \omega/\omega_s$  и  $w_0 = \omega_0/\omega_s$ . В этих переменных:

$$\text{Re } B_\phi = b_0 w \sqrt{w_0} \int x (\text{ker}_1(x\sqrt{w_0}) + \text{kei}_1(x\sqrt{w_0})) \times K_0(wX) dx d\phi, \quad (14)$$

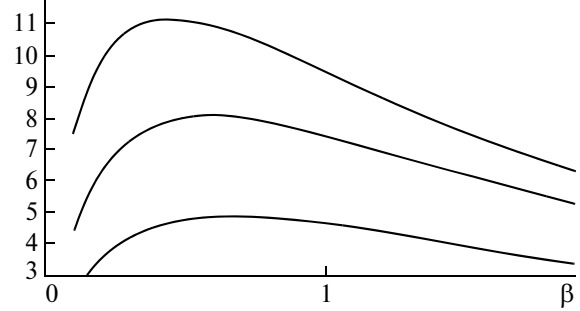
$$\text{Im } B_\phi = b_0 w \sqrt{w_0} \int x (\text{ker}_1(x\sqrt{w_0}) - \text{kei}_1(x\sqrt{w_0})) \times K_0(wX) dx d\phi, \quad (15)$$

где  $X = \sqrt{x'^2 + x^2 - 2xx' \cos \phi}$  и  $b_0 = \frac{\mu_0^2 \sigma u_0 I}{4\pi^2}$ .

Другой способ перехода к безразмерным переменным состоит в следующем. Введем новую переменную интегрирования  $y = r'/r$ . Тогда  $r' = ry$ ,  $dr' = r dy$  и выражения (14) и (15) можно переписать в виде:

$$\text{Re } B_\phi = b_0 \alpha \beta \int y (\text{ker}_1(\alpha y) + \text{kei}_1(\alpha y)) \times K_0(\beta \sqrt{1 + y^2 - 2y \cos \phi}) dy d\phi$$

Магнитное поле



Зависимости индуцированного магнитного поля (в единицах  $b_0 = \frac{\mu_0^2 \delta u_0 I}{4\pi^2}$ ), от параметра  $\beta = kr$  при фиксированных значениях  $\alpha = \sqrt{\mu_0 \omega \sigma r}$ .

$$\text{Im } B_\phi = b_0 \alpha \beta \int y (\text{ker}_1(\alpha y) - \text{kei}_1(\alpha y)) \times K_0(\beta \sqrt{1 + y^2 - 2y \cos \phi}) dy d\phi,$$

где  $\alpha = ar$ ,  $\beta = kr$ . Отсюда видно, что индуцированное поле не меняется, в случае, когда частоты и расстояние изменяется так, что  $\alpha$  и  $\beta$  остаются постоянными.

### 3. ВЫВОДЫ

Численный расчет показывает, что при фиксированной частоте акустической волны и на неизменном расстоянии от провода индуцированное поле монотонно падает с ростом частоты колебаний тока в проводе. Зависимость индуцированного поля от  $\beta$  при фиксированном  $\alpha$  показана на рисунке. Верхняя кривая на этом рисунке соответствует значению  $\alpha$  равному 0.5; средняя – 1; нижняя – 2. Из рисунка видно, что индуцированное поле имеет максимум  $B_m(\alpha)$  при некотором значении  $\beta_m(\alpha)$ .  $B_m(\alpha)$  спадает с ростом  $\alpha$  (приблизительно по экспоненциальному закону), а функция  $\beta_m(\alpha)$  растет и при больших значениях  $\alpha$  асимптотически приближается к некоторой величине, приближенно равной 0.655. Этот результат можно интерпретировать следующим образом. Начиная с расстояний, приблизительно равных  $1.5/a$  частота акустической волны  $\omega_m$  при которой индуцированное поле максимально, может быть вычислена так:

$$\omega_m = 0,655c/r, \quad (16)$$

а соответствующая этой частоте длина волны  $\lambda_m$  –

$$\lambda_m = 9,6r. \quad (16a)$$

При фиксированном значении  $r$ , частота  $\omega_m$  растет с ростом  $\omega_0$  (максимальное значение инду-

цированного поля при этом падает), и при больших частотах тока в проводе стремится к значению, определяемому выражением (16).

Зависимость  $\beta_m(\alpha)$  можно аппроксимировать функцией вида:

$$\beta_m(\alpha) = \beta_{m0}(1 - \exp(-\gamma\alpha)), \quad (17)$$

где  $\beta_{m0}$  и  $\gamma$  – константы, определяемые из сравнения (17) с зависимостью  $\beta_m(\alpha)$ . Переходя в (17) к размерным переменным, можно получить зависимость  $\omega_m$  от  $r$  и  $\omega_0$  в следующем виде:

$$\omega_m = \frac{\beta_{m0}c}{r} [1 - \exp(-\gamma r \sqrt{\omega_0 \omega_s / c})]. \quad (18)$$

Из (18) видно, что вблизи провода ( $r \rightarrow 0$ )  $\omega_m$  стремится к предельному значению, равному  $\beta_{m0}\gamma \sqrt{\omega_0 \omega_s} \sim \sqrt{\omega_0}$ .

В заключении кратко рассмотрим вопрос о численной оценке величины отношения  $B_{\pm}/b_0$ . Для коротких звуковых волн ( $kl \gg 1$ ) это отношение имеет порядок  $\frac{\mu_0 \sigma V_a}{k}$ , что в практически интересных случаях составляет  $10^{-6}$ – $10^{-8}$ . Измерение

этого поля облегчается тем, что его частота ( $\omega_0 \pm \omega$ ) не совпадает с частотой  $\omega_0$  внешнего поля  $b_0$ .

## СПИСОК ЛИТЕРАТУРЫ

- Карнаушенко Н.Н., Кукушкин А.С. Экспериментальные исследования вертикальной структуры естественного электромагнитного поля в океане в диапазоне частот выше единиц герц // *Фундаментальные проблемы морских электромагнитных исследований*. ИЗМИРАН. С. 241–248. 1980.
- Крутецкий И.В. Электромагнитные поля и волны в морской среде. Л.: Судостроение, 1982.
- Савченко В.Н., Смагин В.П., Фонарев Г.А. Вопросы морской электродинамики. Владивосток. ВГУЭС. 1999.
- Смагин В.П., Савченко В.Н., Семкин С.В. Магнитные вариации волнения в прибрежной зоне моря с плоским наклонным дном // *Геомагнетизм и аэрномия*. Т. 45. № 4. С. 559–563. 2005.
- Справочник по специальным функциям с формулами, графиками и математическими таблицами / Под редакцией М. Абрамовица, И. Стиган. М.: Наука, 1979.